

Optimální aktivní detekce změn a řízení stochastických systémů Obhajoba disertační práce

Ivo Punčochář

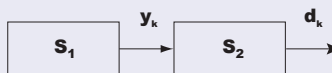
Fakulta aplikovaných věd
Katedra kybernetiky
Západočeská Univerzita v Plzni

11. dubna 2008

- 1 Úvod a motivace cílů disertační práce
- 2 Formulace problému aktivní detekce změn a řízení
- 3 Obecné řešení formulovaného problému
- 4 Specifikace speciálních případů
- 5 Vícemodelový přístup
- 6 Ilustrační příklady
- 7 Závěr

Úvod

Specifikace problému detekce změn/chyb



- **S₁** - sledovaný subsystém
- **S₂** - subsystém generující rozhodnutí o změnách v subsystému **S₁**
- **Cíl** - navrhnout subsystém **S₂**

Úvod

Přínosy detekce změn

- Zvýšení kvality řízení a rozhodování
- Zvýšení spolehlivosti
- Zvýšení bezpečnosti
- Snížení ekonomických ztrát
- Snížení škod na životním prostředí
- Snížení rizika zranění osob

Aplikační oblasti

- Jaderný a chemický průmysl, energetika, plynárenství atd.
- Letectví, automobilový průmysl a dopravní systémy
- Lékařství
- Ekologie

Úvod

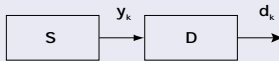
Vývoj metod návrhu subsystému S_2

- Využití redundantních prvků – jednoduchost, vyšší náklady
- Využití modelu signálu – vyšší kvalita detekce, nárůst složitosti
- Využití modelu substitutu S_1
 - Pasivní detekce změn – použití výsledků teorie lineárních a nelineárních systémů a testování hypotéz, rozšířené
 - Aktivní detekce změn – teoreticky i výpočetně náročnější, podstatně méně rozšířené

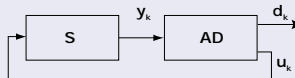
Úvod

Pasivní a aktivní detekce změn

- **Pasivní detekce změn** – detektor **D** zpracovává pasivně měření y_k a generuje rozhodnutí d_k o změnách v subsystému **S₁**
- **Aktivní detekce změn** – aktivní detektor **AD** generuje rozhodnutí d_k a navíc vstup u_k , který by měl zvýšit kvalitu detekce



Pasivní detekce změn



Aktivní detekce změn

Úvod

Motivace pro stanovení cílů disertační práce

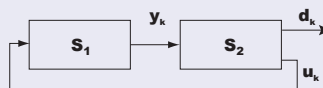
- Roztríštěnost a nesystematičnost současných přístupů k aktivní detekci změn
- Absence formulace problému aktivní detekce změn jako optimalizačního problému
- Neexistence uceleného přístupu k současnemu návrhu aktivního detektora a regulátoru

Cíle disertační práce

- ❶ Nalézt obecnou formulaci a řešení problému optimální aktivní detekce změn a řízení stochastických subsystémů
- ❷ Odvodit exaktní řešení pro jednotlivé speciální případy
- ❸ Nalézt a aplikovat approximace exaktních řešení pro speciální typ stochastického subsystému

Formulace problému

Systém aktivní detekce změn a řízení



Subsystém \mathbf{S}_1 pro $k \in \mathcal{T} = \{0, 1, \dots, F\}$

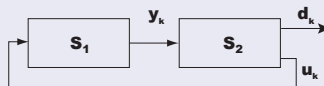
$$\begin{aligned}\mathbf{x}_{k+1} &= \mathbf{f}_k(\mathbf{x}_k, \boldsymbol{\mu}_k, \mathbf{u}_k, \mathbf{w}_k) \\ \boldsymbol{\mu}_{k+1} &= \mathbf{g}_k(\boldsymbol{\mu}_k, \mathbf{e}_k)\end{aligned}$$

$$\mathbf{y}_k = \mathbf{h}_k(\mathbf{x}_k, \boldsymbol{\mu}_k, \mathbf{v}_k)$$

- $\mathbf{f}_k(\cdot), \mathbf{g}_k(\cdot)$ a $\mathbf{h}_k(\cdot)$ – známé funkce
- $[\mathbf{x}_k^T, \boldsymbol{\mu}_k^T]^T$ – stav, $\mathbf{x}_k \in \mathbb{R}^{n_x}$,
 $\boldsymbol{\mu}_k \in \mathcal{M} \subseteq \mathbb{R}^{n_\mu}$
- $\mathbf{u}_k \in \mathcal{U}_k \subseteq \mathbb{R}^{n_u}$ – vstup
- $\mathbf{y}_k \in \mathbb{R}^{n_y}$ – výstup
- $p(\mathbf{w}_k), p(\mathbf{e}_k)$ a $p(\mathbf{v}_k)$ – známé hustoty pravděpodobnosti

Formulace problému

Systém aktivní detekce změn a řízení



Subsystém \mathbf{S}_2 pro $k \in \mathcal{T}$

$$\begin{bmatrix} \mathbf{d}_k \\ \mathbf{u}_k \end{bmatrix} = \rho_k \left(\mathbf{l}_0^k \right)$$

- $\rho_k(\cdot)$ – neznámá funkce
- $\mathbf{d}_k \in \mathcal{M}$ – rozhodnutí
- $\mathbf{l}_0^k = [\mathbf{y}_0^{kT}, \mathbf{u}_0^{k-1T}, \mathbf{d}_0^{k-1T}]^T$ – dostupná informace v čase k

Formulace problému

Kritérium

$$J(\rho_0^F) = E \left\{ \sum_{k=0}^F L_k (\mu_0^k, \mathbf{d}_0^k, \mathbf{x}_0^k, \mathbf{u}_0^k) \right\} \rightarrow \min$$

- $L_k(\cdot)$ – nezáporná ztrátová funkce

Strategie zpracování informace

- Bez zpětné vazby (OL) – subsystém \mathbf{S}_2 využívá apriorní pouze informaci
- S částečnou zpětnou vazbou (OLF) – subsystém \mathbf{S}_2 využívá apriorní informaci a dosavadní měření
- **S úplnou zpětnou vazbou (CL)** – subsystém \mathbf{S}_2 využívá apriorní informaci, dosavadní měření a respektuje dostupnost dalších měření v budoucnosti

Obecné řešení

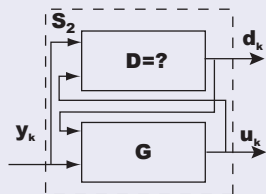
Obecná zpětná rekurzivní rovnice

$$V_k^*(\mathbf{l}_0^k) = \min_{\substack{\mathbf{d}_k \in \mathcal{M} \\ \mathbf{u}_k \in \mathcal{U}_k}} E \left\{ L_k(\boldsymbol{\mu}_0^k, \mathbf{d}_0^k, \mathbf{x}_0^k, \mathbf{u}_0^k) + V_{k+1}^*(\mathbf{l}_0^{k+1}) | \mathbf{l}_0^k, \mathbf{u}_k, \mathbf{d}_k \right\}$$

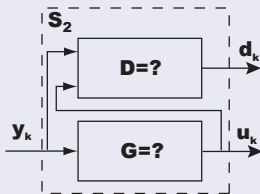
- $V_{F+1}^* = 0$ – počáteční podmínka
- $V_k^*(\mathbf{l}_0^k)$ – Bellmanova funkce

Přehled speciálních případů

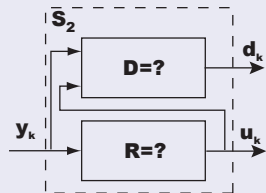
Detektor pro daný generátor vstupu



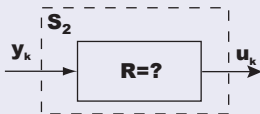
Aktivní detektor



Aktivní detektor a regulátor



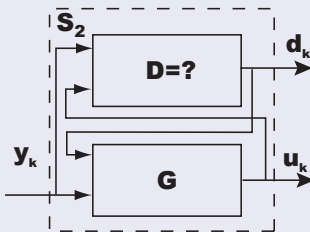
Regulátor



Optimální detektor pro daný generátor vstupního signálu

Specifikace problému

- Ztrátová funkce je $L_k(\mu_0^k, \mathbf{d}_0^k, \mathbf{x}_0^k, \mathbf{u}_0^k) = L_k^d(\mu_k, \mathbf{d}_k)$
- Cílem je nalézt detektor \mathbf{D} pro daný generátor vstupního signálu \mathbf{G} , který je popsán vztahem $\mathbf{u}_k = \gamma_k(\mathbf{l}_0^k, \mathbf{d}_k)$



Optimální detektor pro známý generátor vstupního signálu

Řešení

- Zpětná rekurzivní rovnice

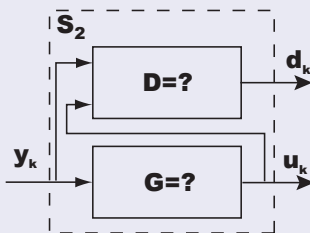
$$V_k^*(\mathbf{l}_0^k) = \min_{\substack{\mathbf{d}_k \in \mathcal{M} \\ \mathbf{u}_k = \gamma_k(\mathbf{l}_0^k, \mathbf{d}_k)}} E \left\{ L_k^d(\boldsymbol{\mu}_k, \mathbf{d}_k) + V_{k+1}^*(\mathbf{l}_0^{k+1}) | \mathbf{l}_0^k, \mathbf{u}_k, \mathbf{d}_k \right\}$$

- Optimální rozhodnutí $\mathbf{d}_k^* = \sigma_k^*(\mathbf{l}_0^k)$ představuje kompromis mezi správným rozhodnutím a vybuzením subsystému \mathbf{S}_1 prostřednictvím generátoru \mathbf{G} ($\mathbf{u}_k^* = \gamma_k(\mathbf{l}_0^k, \mathbf{d}_k^*)$)
- Optimální hodnota kritéria je $J^{\text{ADDG}*}$

Optimální aktivní detektor

Specifikace problému

- Ztrátová funkce je $L_k(\mu_0^k, \mathbf{d}_0^k, \mathbf{x}_0^k, \mathbf{u}_0^k) = L_k^d(\mu_k, \mathbf{d}_k)$
- Cílem je nalézt detektor \mathbf{D} a generátor \mathbf{G}



Optimální aktivní detektor

Řešení

- Zpětná rekurzivní rovnice

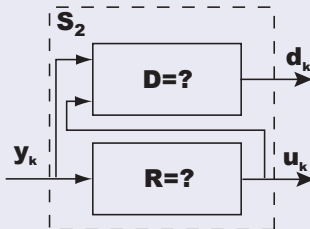
$$V_k^*(\mathbf{y}_0^k, \mathbf{u}_0^{k-1}) = \min_{\mathbf{d}_k \in \mathcal{M}} E \left\{ L_k^d(\boldsymbol{\mu}_k, \mathbf{d}_k) | \mathbf{y}_0^k, \mathbf{u}_0^{k-1}, \mathbf{d}_k \right\} + \\ \min_{\mathbf{u}_k \in \mathcal{U}_k} E \left\{ V_{k+1}^*(\mathbf{y}_0^{k+1}, \mathbf{u}_0^k) | \mathbf{y}_0^k, \mathbf{u}_0^k \right\}$$

- Optimální rozhodnutí $\mathbf{d}_k^* = \sigma_k^*(\mathbf{y}_0^k, \mathbf{u}_0^{k-1})$ a optimální vstup $\mathbf{u}_k^* = \gamma_k^*(\mathbf{y}_0^k, \mathbf{u}_{k-1})$ jsou vybrány nezávisle
- Optimální hodnota kritéria je $J^{\text{ADG}*}$

Optimální aktivní detektor a regulátor

Specifikace problému

- Ztrátová funkce je $L_k(\mu_0^k, \mathbf{d}_0^k, \mathbf{x}_0^k, \mathbf{u}_0^k) = \alpha_k L_k^d(\mu_k, \mathbf{d}_k) + (1 - \alpha_k) L_k^c(\mathbf{x}_k, \mathbf{u}_k)$, $\alpha_k \in (0, 1)$
- Cílem je nalézt detektor **D** a regulátor **R**



Optimální aktivní detektor a regulátor

Řešení

- Zpětná rekurzivní rovnice

$$\begin{aligned} V_k^*(\mathbf{y}_0^k, \mathbf{u}_0^{k-1}) &= \min_{\mathbf{d}_k \in \mathcal{M}} E \left\{ \alpha_k L_k^d(\boldsymbol{\mu}_k, \mathbf{d}_k) | \mathbf{y}_0^k, \mathbf{u}_0^{k-1}, \mathbf{d}_k \right\} + \\ &\quad \min_{\mathbf{u}_k \in \mathcal{U}_k} E \left\{ (1 - \alpha_k) L_k^c(\mathbf{x}_k, \mathbf{u}_k) + V_{k+1}^*(\mathbf{y}_0^{k+1}, \mathbf{u}_0^k) | \mathbf{y}_0^k, \mathbf{u}_k \right\} \end{aligned}$$

- Optimální rozhodnutí $\mathbf{d}_k^* = \sigma_k^*(\mathbf{y}_0^k, \mathbf{u}_0^{k-1})$ a optimální vstup $\mathbf{u}_k^* = \gamma_k^*(\mathbf{y}_0^k, \mathbf{u}_{k-1})$ jsou vybrány nezávisle. Optimální vstup představuje kompromis mezi řízením a vybuzením subsystému \mathbf{S}_1
- Optimální hodnota kritéria je $J^{\text{ADR}*}$

Shrnutí ke speciálním případům

Vztah obecné formulace a speciálních případů

- Navržená formulace představuje jednotný přístup k různým problémům na základě volby $\alpha_k \in [0, 1]$ ve ztrátové funkci $L_k(\boldsymbol{\mu}_0^k, \mathbf{d}_0^k, \mathbf{x}_0^k, \mathbf{u}_0^k) = \alpha_k L_k^d(\boldsymbol{\mu}_k, \mathbf{d}_k) + (1 - \alpha_k)L_k^c(\mathbf{x}_k, \mathbf{u}_k)$,
 - $\alpha_k = 1$ a daný generátor \Rightarrow detektor pro daný generátor vstupního signálu
 - $\alpha_k = 1 \Rightarrow$ aktivní detektor a generátor
 - $\alpha_k \in (0, 1) \Rightarrow$ aktivní detektor a regulátor
 - $\alpha_k = 0 \Rightarrow$ regulátor
- Daný generátor vstupního signálu omezuje volnost návrhu a pro hodnoty kritérií platí $J^{\text{ADG}^*} \leq J^{\text{ADDG}^*}$

Zjednodušení popisu subsystému \mathbf{S}_1

Vícemodelový přístup

- Subsystém \mathbf{S}_1 je v každém čase k popsán jedním modelem z konečné předem stanovené množiny modelů
- Množina $\mathcal{M} = \{1, \dots, N\}$ je diskrétní a stavová skalární proměnná μ_k reprezentuje index modelu v čase k
- Stavová rovnice $\mu_{k+1} = \mathbf{g}_k(\mu_k, \mathbf{e}_k)$ je nahrazena pravděpodobnostmi přechodu $P_{i,j} = P(\mu_{k+1} = j | \mu_k = i)$, $i, j \in \mathcal{M}$

Výhody vícemodelového přístupu

- Módy chování subsystému \mathbf{S}_1 jsou popsány jednotlivými modely
- Problém odhadu stavu a predikce výstupu je jednodušší
- Existují approximativní techniky odhadu stavu

Aproximativní řešení zpětné rekurzivní rovnice (ZRR)

Numerické řešení ZRR

- Diskretizace množiny přípustných vstupů \mathcal{U}_k
- Numerický výpočet podmíněných středních hodnot v ZRR

Technika postupujícího horizontu

- Optimalizace na zkráceném horizontu
- Aplikace aktuálního rozhodnutí a vstupu

Ilustrační příklady

Úvod k ilustračním příkladům

- Příklady ilustrují tři prezentované speciální případy
- Hlavní cíle příkladů
 - Ukázat zlepšení plynoucí z použití strategie zpracování informace s úplnou zpětnou vazbou
 - Ukázat vliv zafixování generátoru vstupního signálu
 - Prezentovat aktivní detektor a regulátor
- Horizont simulace je pouze $F = 1$ a kromě numerické integrace nejsou použity žádné další approximace

Optimální detektor pro daný generátor vstupního signálu

Popis subsystému \mathbf{S}_1

$$\mu_k = 1 : \quad x_{k+1} = 0.9x_k + u_k + 0.005w_k$$

$$y_k = 0.1x_k + 0.005v_k$$

$$\mu_k = 2 : \quad x_{k+1} = 0.9x_k + u_k + 0.005w_k$$

$$y_k = -0.1x_k + 0.005v_k$$

$$p(w_k) = p(v_k) = \mathcal{N}\{0, 1\}$$

$$p(x_0) = \mathcal{N}\{0, 0.4\}, \quad P(\mu_0 = 1) = P(\mu_0 = 2) = 0.5$$

Přechodové pravděpodobnosti

$$[P_{i,j}] = \begin{bmatrix} 0.9 & 0.1 \\ 0.1 & 0.9 \end{bmatrix}$$

Optimální detektor pro daný generátor vstupního signálu

Ztrátová funkce

$$L_k^d(\mu_k, d_k) = \begin{cases} 0 & \Leftrightarrow d_k = \mu_k \\ 1 & \Leftrightarrow d_k \neq \mu_k \end{cases}$$

Daný generátor vstupního signálu

$$u_k = \gamma_k(d_k) = \begin{cases} 0 & \Leftrightarrow d_k = 1 \\ 50 & \Leftrightarrow d_k = 2 \end{cases}$$

Optimální detektor pro daný generátor vstupního signálu

Srovnání

- Detektor pro daný generátor vstupního signálu navržený s využitím strategie zpracování informace s částečnou zpětnou vazbou (ADDG OLF)
- Detektor pro daný generátor vstupního signálu navržený s využitím strategie zpracování informace s úplnou zpětnou vazbou (ADDG CL)

Výsledky Monte Carlo simulací

	\hat{J}	$\text{cov}\{\hat{J}\}$	Čas [s]
ADDG OLF	1.0310	$8.6495 \cdot 10^{-4}$	0.0687
ADDG CL	0.4815	$2.4948 \cdot 10^{-4}$	0.3936

Optimální aktivní detektor

Popis subsystému \mathbf{S}_1

$$\mu_k = 1 : \quad x_{k+1} = 0.8x_k + u_k + 0.005w_k$$

$$y_k = 0.1x_k + 0.005v_k$$

$$\mu_k = 2 : \quad x_{k+1} = 0.8x_k + 4u_k + 0.005w_k$$

$$y_k = -0.1x_k + 0.005v_k$$

$$p(w_k) = p(v_k) = \mathcal{N}\{0, 1\}$$

$$p(x_0) = \mathcal{N}\{10, 0.0004\}, \quad P(\mu_0 = 1) = 0.6, \quad P(\mu_0 = 2) = 0.4$$

Přechodové pravděpodobnosti

$$[P_{i,j}] = \begin{bmatrix} 0.5 & 0.5 \\ 0.5 & 0.5 \end{bmatrix}$$

Optimální aktivní detektor

Ztrátová funkce

$$L_k^d(\mu_k, d_k) = \begin{cases} 0 & \Leftrightarrow d_k = \mu_k \\ 1 & \Leftrightarrow d_k \neq \mu_k \end{cases}$$

Daný generátor vstupního signálu

$$u_k = \gamma_k(d_k) = \begin{cases} -8 & \Leftrightarrow d_k = 1 \\ -2 & \Leftrightarrow d_k = 2 \end{cases}$$

Optimální aktivní detektor

Srovnání

- Detektor navržený pro daný generátor vstupního signálu s využitím strategie zpracování informace s úplnou zpětnou vazbou (ADDG CL)
- Aktivní detektor navržený s využitím strategie zpracování informace s úplnou zpětnou vazbou (ADG CL)

Výsledky Monte Carlo simulací

	\hat{J}	$\text{cov}\{\hat{J}\}$	Čas [s]
ADDG CL	0.4523	$2.7962 \cdot 10^{-4}$	0.3899
ADG CL	0	0	0.3829

Optimální aktivní detektor a regulátor

Popis subsystému \mathbf{S}_1

$$\mu_k = 1 : \quad x_{k+1} = 0.8x_k + 0.5u_k + 0.005w_k$$

$$y_k = 2x_k + 0.005v_k$$

$$\mu_k = 2 : \quad x_{k+1} = 0.9x_k + 2u_k + 0.005w_k$$

$$y_k = 2x_k + 0.005v_k$$

$$p(w_k) = p(v_k) = \mathcal{N}\{0, 1\},$$

$$p(x_0) = \mathcal{N}\{1, 0.0001\}, \quad P(\mu_0 = 1) = 0.51, \quad P(\mu_0 = 2) = 0.49$$

Přechodové pravděpodobnosti jsou

$$[P_{i,j}] = \begin{bmatrix} 0.99 & 0.01 \\ 0.01 & 0.99 \end{bmatrix}$$

Optimální aktivní detektor a regulátor

Ztrátová funkce

$$L_k(\mu_k, d_k, x_k, u_k) = \alpha_k L_k^d(\mu_k, d_k) + (1 - \alpha_k) L_k^c(x_k, u_k)$$

$$L_k^d(\mu_k, d_k) = \begin{cases} 0 & \Leftrightarrow d_k = \mu_k \\ 1 & \Leftrightarrow d_k \neq \mu_k \end{cases}$$

$$L_k^c(x_k, u_k) = x_k^2 + 10^{-4} u_k^2$$

$$\alpha_k = 0.09$$

Optimální aktivní detektor a regulátor

Srovnání

- Detektor a regulátor navržený s využitím principu ekvivalence určitosti (ADR CEC)
- Detektor a regulátor navržený s využitím strategie zpracování informace s úplnou zpětnou vazbou (ADR CL)

Výsledky Monte Carlo simulací

	\hat{J}	$\text{cov}\{\hat{J}\}$	Čas [s]
ADR CEC	3.4503	0.0061	0.0732
ADR CL	1.0942	$7.4403 \cdot 10^{-6}$	1.7418

Závěr

Hlavní výsledky

- Návrh formulace a řešení uvedených speciálních případů
- Vytvoření jednotné formulace problému aktivní detekce a řízení
- Jednotná formulace zahrnuje
 - Zde prezentované speciální případy
 - Známé přístupy k aktivní detekci změn [Blackmore and Williams, 2006]

Dílčí výsledky

- Aplikace pro speciální typ stochastického systému
- Návrh approximačních technik řešení umožňující simulační ověření teoretických výsledků